

Le 06/12/21

Compte rendu de TP

Excellent travail de grande qualité! 2/2

I - Résonance d'intensité:

1)

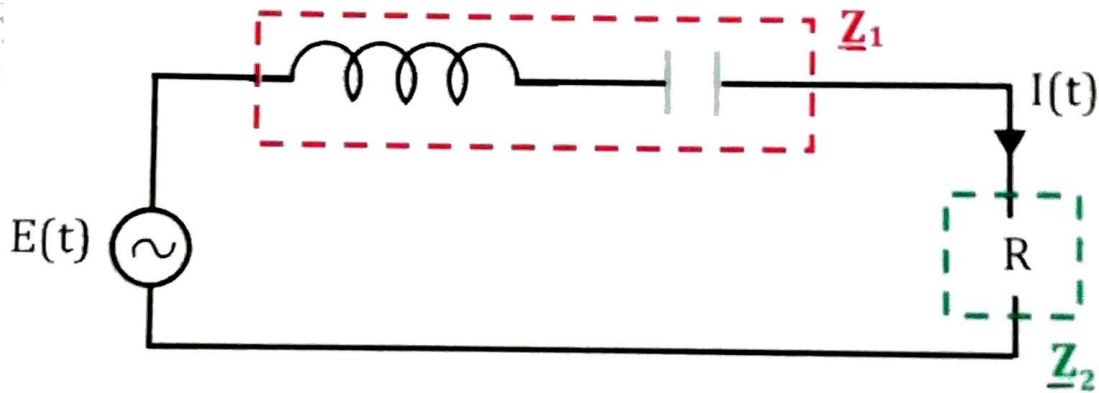


Figure 1 : Circuit étudié

avec le diviseur de tension, on a :

$$\frac{R_i}{E} = \frac{1}{1 + Z_1 Z_2} = \frac{1}{1 + (jL\omega + \frac{1}{jC\omega}) \frac{1}{R}} \\ = \frac{1}{1 + j\left(\frac{\omega}{R} - \frac{1}{R\omega}\right)}$$

On, I_{\max} correspond à l'amplitude de i , donc au module de \underline{i} .

$$d'où \underline{i}_{\max} = \frac{E_{\max} \underline{R}}{\left|1 + j\left(\frac{\omega}{R} - \frac{1}{R\omega}\right)\right|}$$

$$\text{On a } \omega = 2\pi f \\ \text{d'où } I_{\max} = \frac{E_{\max} / R}{|1 + j\left(\frac{2\pi Lf}{R} - \frac{1}{2\pi R C f}\right)|}$$

Par identification:

$$\frac{Qf}{f_0} = \frac{2\pi Lf}{R} \quad \text{et} \quad \frac{Qf_0}{f} = \frac{1}{2\pi R C f}$$

$$\text{d'où } A = \frac{E_{\max}}{R} ; Q = \frac{1}{R} \sqrt{\frac{L}{C}} ; f_0 = \frac{1}{2\pi \sqrt{LC}}$$

application numérique:

$$\begin{aligned} & - f_0 \approx \underline{23 \text{ kHz}} \\ & - Q \approx \underline{13} \end{aligned}$$

2) Les fréquences de capture correspondent aux fréquences telles que $i_{\max} = \frac{i_{\max \text{ max}}}{\sqrt{2}} = \frac{i_{\max \text{ max}}}{\sqrt{1+1}}$

$$\text{par identification: } Q^2 \left(\frac{f}{f_0} - \frac{f_0}{f} \right)^2 = 1$$

$$\text{en posant } x = \frac{f}{f_0}, \quad Q^2 \left(x - \frac{1}{x} \right)^2 = 1$$

$$\rightarrow f_1 = f_0 \left(-\frac{1}{2Q} + \frac{\sqrt{\Delta}}{2} \right)$$

$$\text{ai } \Delta = \frac{1}{Q^2} + 4$$

$$\rightarrow f_2 = f_0 \left(\frac{1}{2Q} + \frac{\sqrt{\Delta}}{2} \right)$$

$$\boxed{\frac{f_0}{f_2 - f_1} = \frac{f_0}{\frac{f_0}{Q}} = Q}$$

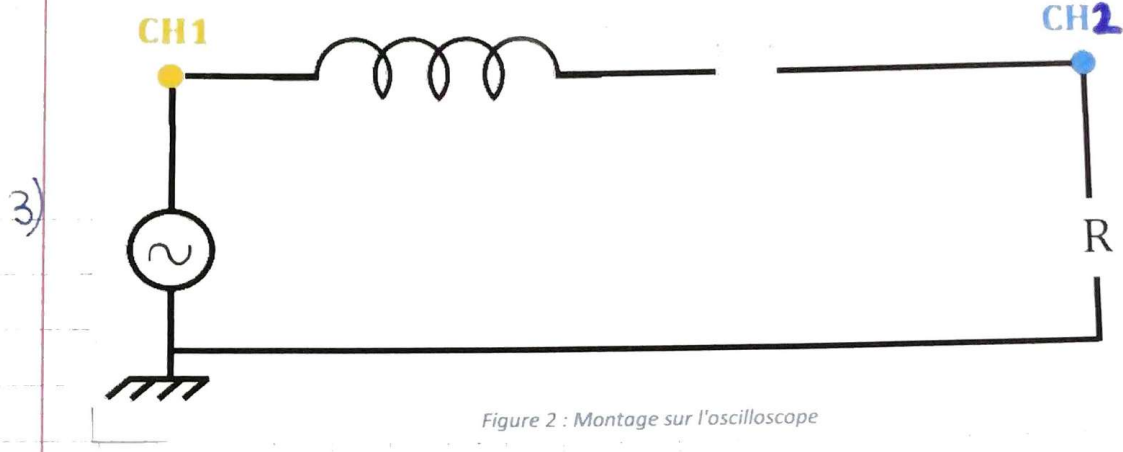


Figure 2 : Montage sur l'oscilloscope

L'oscilloscope mesure une tension entre les entrées CH1 et CH2 d'une part et la masse auquel il est raccordé d'autre part. Ici, **CH1** mesure $e(t)$ et **CH2** $Ri(t)$.

- 4) Rappelons qu'à la résonance, l'amplitude est maximale. Donc en balayant en fréquences, on s'arrête au moment où l'amplitude est la plus haute. Et cette fréquence, on obtient les relevés suivants

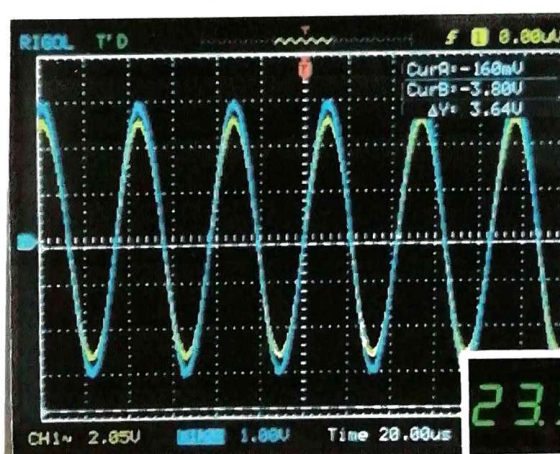


Figure 3 : Courbes en phase, à la résonance (mode t/Y)

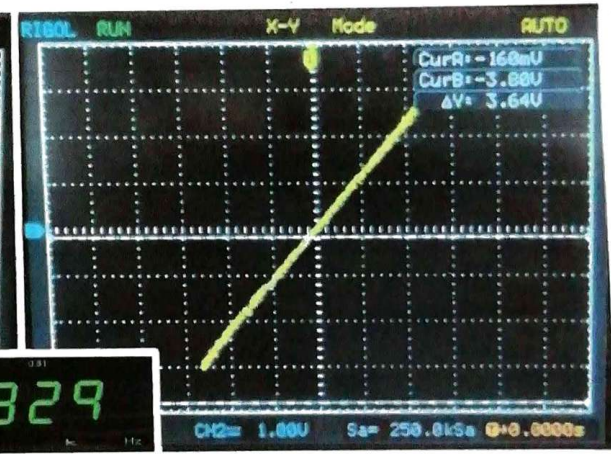


Figure 4 : Courbes en phase, à la résonance (mode X/Y)

Excellent!

On peut confirmer que les passages par 0 des deux canaux de l'oscilloscope se font au même moment avec une pente dans le même sens (signaux en phase). D'autre part, le relevé X/Y, plus précis, montre une droite qui prouve la proportionnalité de **CH2** par rapport à **CH1**.

rapport à **CH1**, à la résonance.

CH2 est une tension, mais étant mesurée aux bornes d'une résistance, elle suivent à mesurer le courant $i(t)$ à un facteur $\frac{1}{R}$ près.

- 5) deux fréquences de coupure, le déphasage est de $\frac{\pi}{4}$, alors que les deux signaux étaient en phase pour la fréquence centrale f_0 .
On augmente ou on diminue la fréquence jusqu'à ce que le décalage des courbes soit de $\frac{\pi}{4}$, donc $\frac{2\pi}{8}$, soit 118° de la période.

par lecture sur le GBF,

$$\begin{aligned} - f_1 &= \underline{22 \text{ kHz}} \\ - f_2 &= \underline{25,6 \text{ kHz}} \end{aligned}$$

$$\text{d'où } Q = \underline{6,4}$$

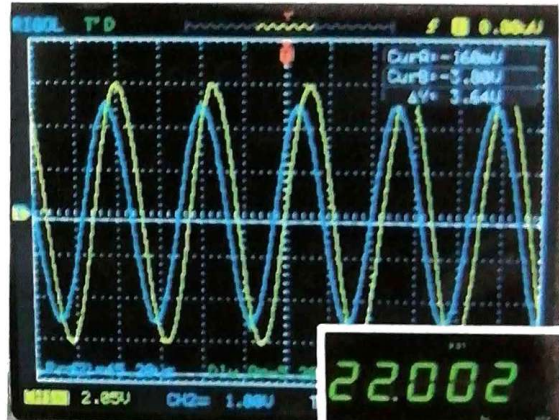


Figure 5 : Courbes à la fréquence de coupure inférieure (écart de 1/8ème de période)

TB

Évidemment, cette méthode de détermination des fréquences de coupures reste très approximative. Abordons en une autre au III.

III- Méthode automatique de la raie de résonance

La carte synam trace le rapport entre E_A et E_{A_0} et effectue un balayage de fréquences sur la sortie SA_1 .

Les représentations ci-dessous donnent ce rapport en fonction de la fréquence pour les valeurs de R

de 50 Ω et 100 Ω

EA_0 est l'équivalent de $C\#1$ du montage précédent et EA_1 correspond à $C\#2$.

On place alors les

courants de part et d'autre de la fréquence centrale telle que l'amplitude soit diminuée de $\sqrt{2}$.

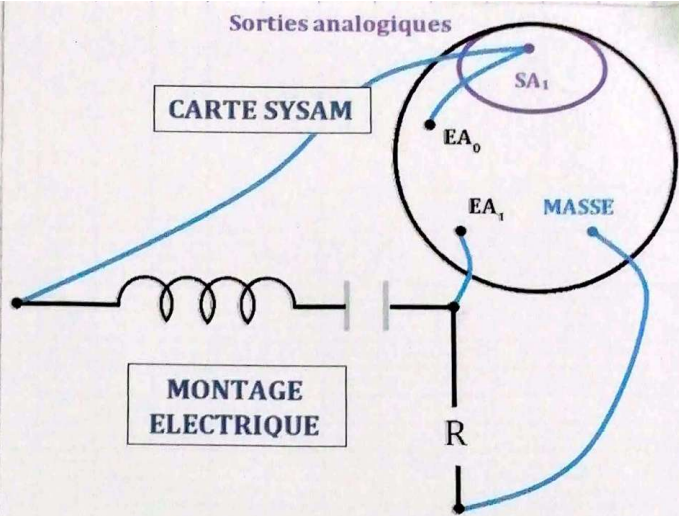


Figure 6 : Montage avec carte Sysam



Figure 7 : tracé des courbes pour une résistance de 50 ohms

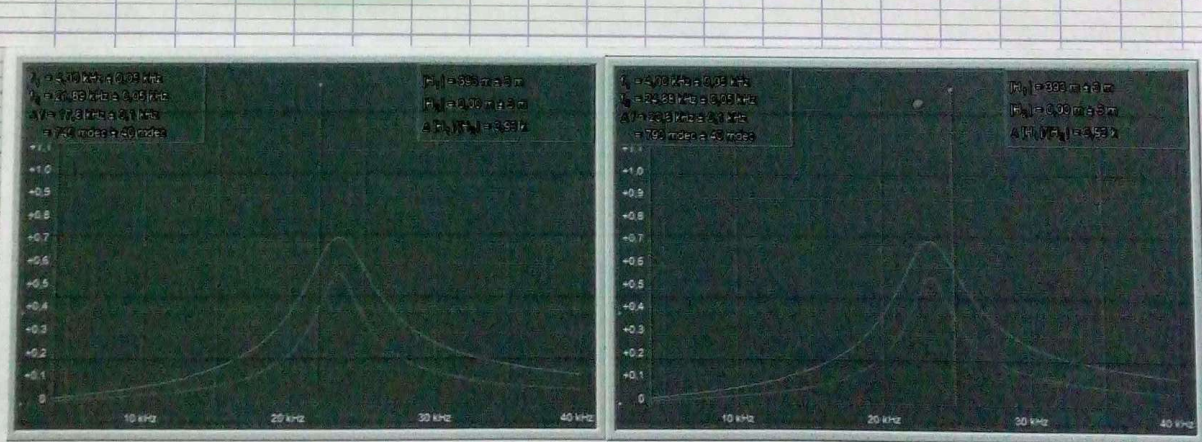


Figure 8 : tracé des courbes pour une résistance de 100 ohms

On constate que la différence de fréquence $f_2 - f_1$ est plus importante pour $R = 100 \Omega$ que pour $R = 50 \Omega$. Ceci est cohérent, car comme $a = \frac{f_0}{f_2 - f_1}$, le facteur

de qualité est effectivement supérieur pour la plus faible des résistances ($a = \frac{1}{R} \sqrt{\frac{L}{C}}$)